

1100-4BW12, rok akademicki 2021/22

WSTĘP DO OPTYKI FOURIEROWSKIEJ

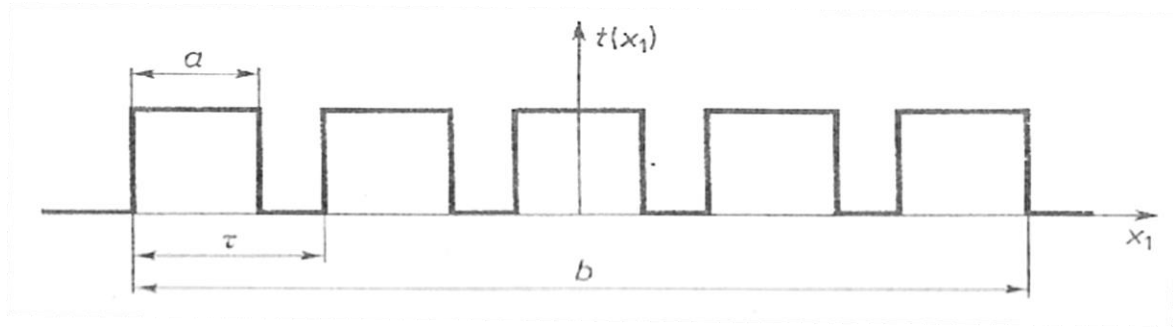
dr hab. Rafał Kasztelanic

Siatka dyfrakcyjna

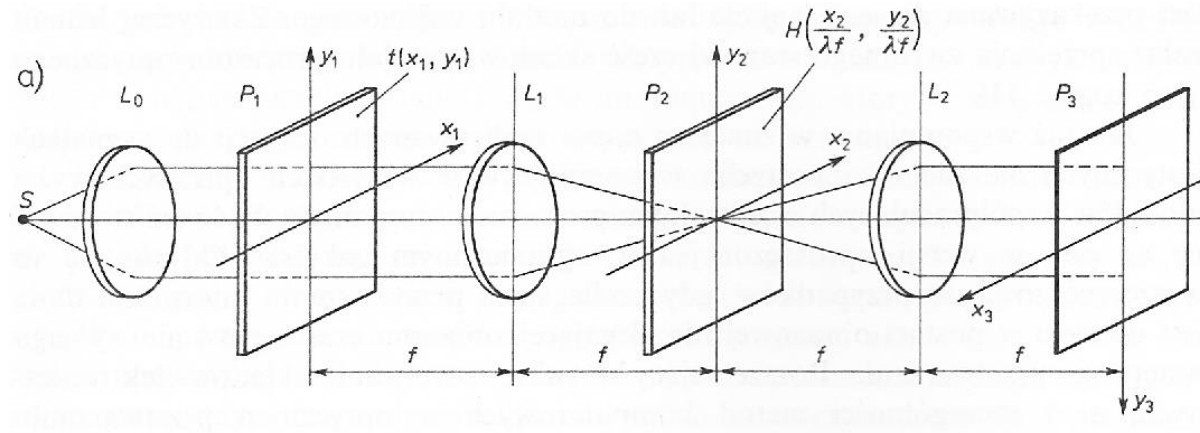
Rozważamy jak zmienia się obraz siatki dyfrakcyjnej po filtracji:

Siatka dyfrakcyjna:

$$t(x_1) = \sum_{m=-\infty}^{\infty} \text{rect}\left(\frac{x_1 - m\tau}{a}\right) \text{rect}\left(\frac{x_1}{b}\right)$$



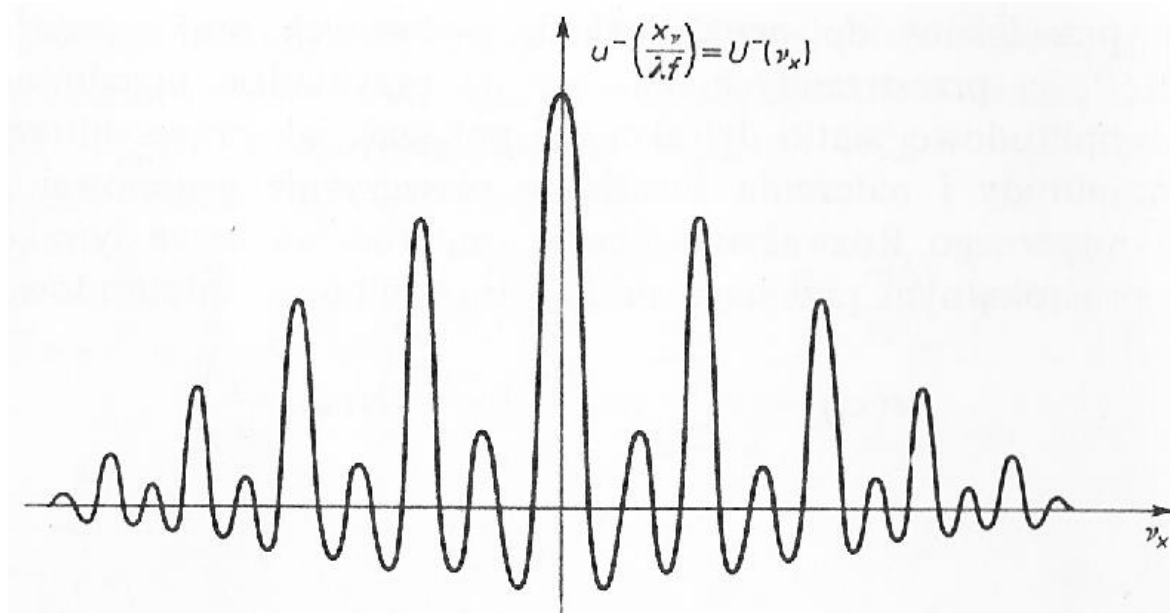
Układ do filtracji:



Siatka dyfrakcyjna

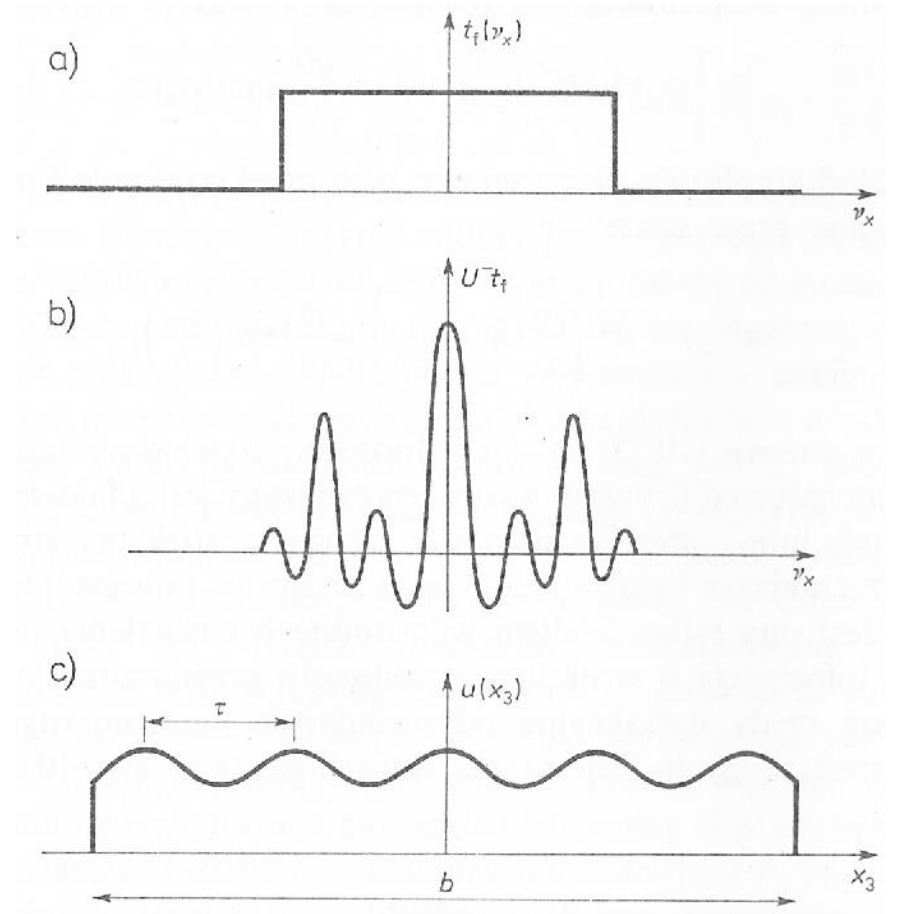
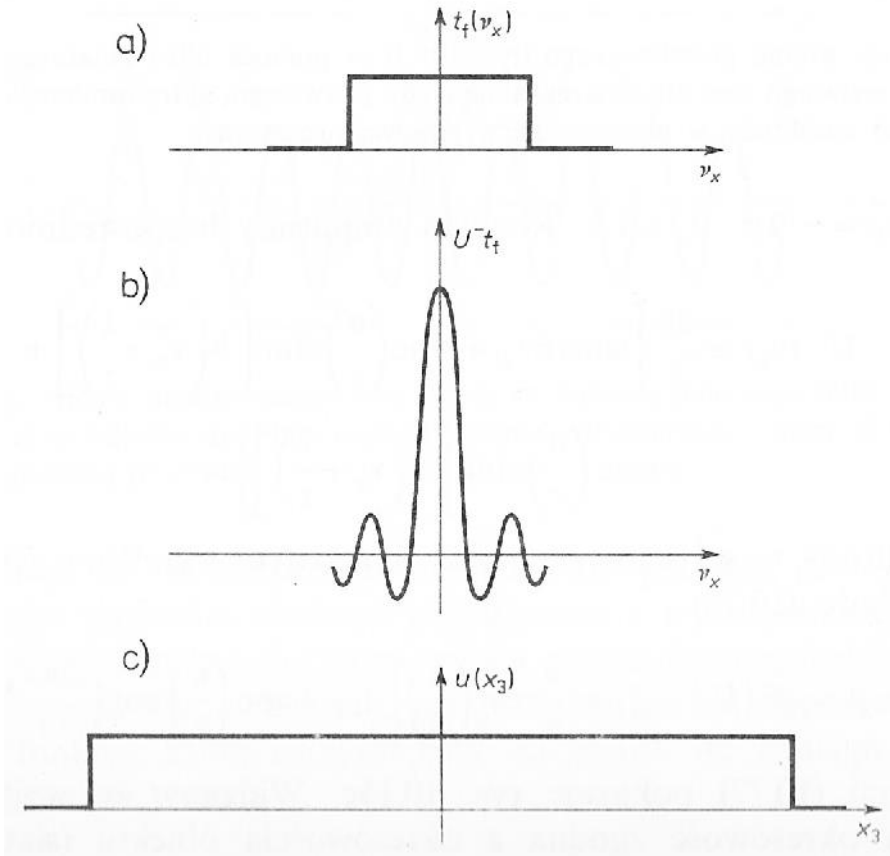
Sygnał w płaszczyźnie fourierowskiej:

$$U^-(v_x) \sim \mathcal{F}\{t(x_1)\} = \frac{ab}{\tau} \sum_{m=-\infty}^{\infty} \operatorname{sinc}\left(\frac{am}{\tau}\right) \operatorname{sinc}\left[b\left(v_x - \frac{m}{\tau}\right)\right]$$



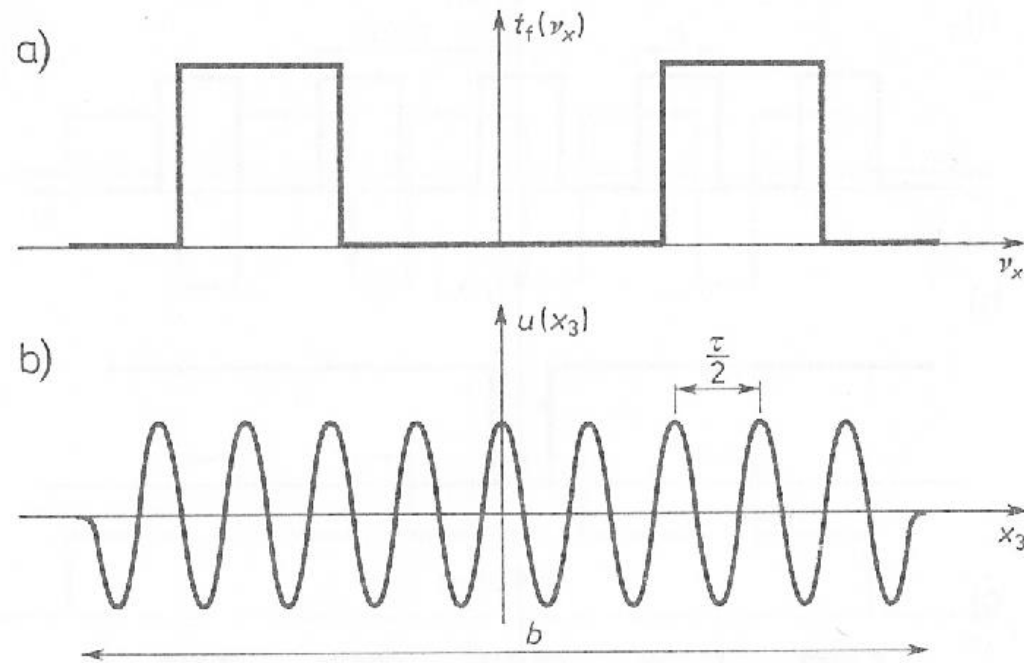
Siatka dyfrakcyjna

Filtracja dolnoprzepustowa:



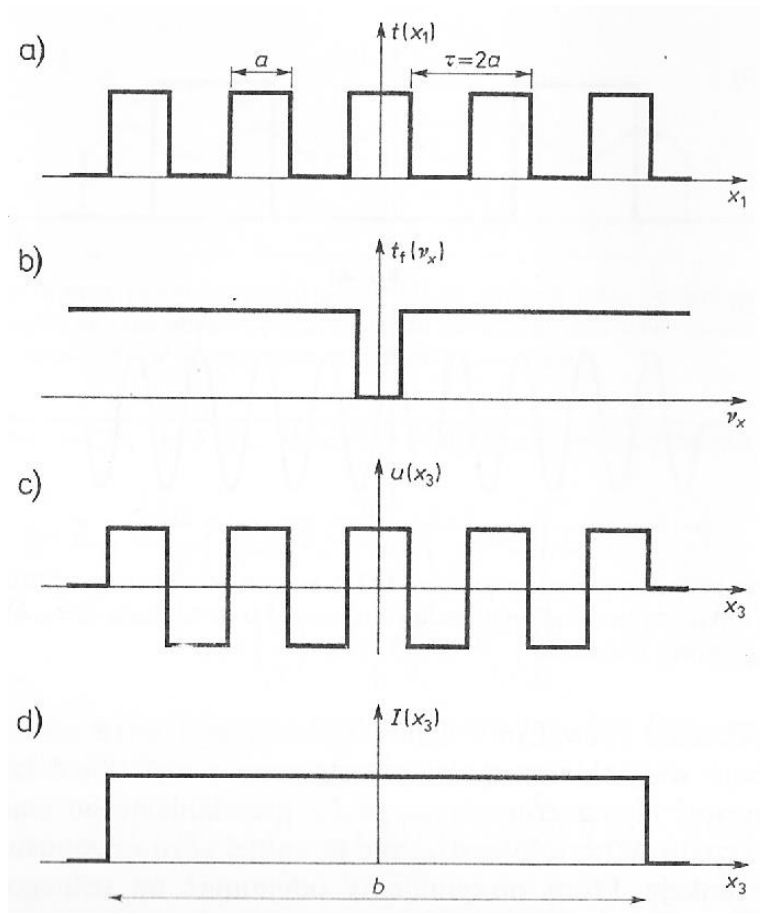
Siatka dyfrakcyjna

Filtracja środkowoprzepustowa:

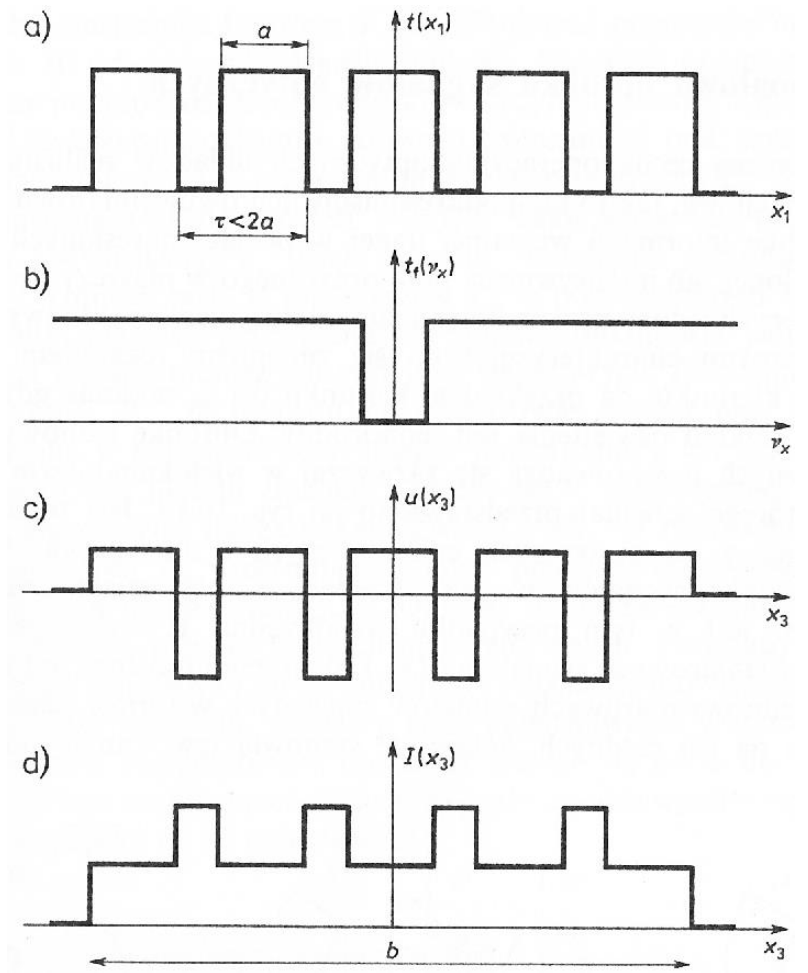


Siatka dyfrakcyjna

Filtracja górnoprzepustowa:



Jednorodne natężenie



odwrócenie kontrastu

Punktem wyjścia jest równanie Helmholtza: $[\Delta + k^2]U(\mathbf{x}) = 0$

Rozwiązanie równania falowego w postaci fal monochromatycznych

gdzie $k = \frac{\omega}{c} = \frac{2\pi\nu}{\lambda}$ jest wektorem falowym.

Właściwości danego pola U zależą wyłącznie od położenia i czasu: $U(\mathbf{x}, t) = \text{Re}\{U(\mathbf{x})e^{-i\omega t}\}$

Obliczenie własności zespolonego pola $U(\mathbf{x})$ w dowolnym punkcie przestrzeni \mathbf{x} możliwe jest przy wykorzystaniu funkcji Greena:

$$U(\mathbf{x}_0) = \frac{1}{4\pi} \oiint_S [\nabla U(\mathbf{x}) G(\mathbf{x}) - U(\mathbf{x}) \nabla G(\mathbf{x})] dS$$

Jest to podstawowe równanie skalarnej teorii dyfrakcji (równanie Helmholtza-Kirchhoffa).

Pozwala ono na sprowadzenie problemu dyfrakcji do rozważania **pól rozchodzących się bez przeszkód** oraz **pól pochodzących od przeszkód**, które stają się źródłem fal sferycznych.

Całkowanie odbywa się po powierzchni zamkniętej S , która otacza dany punkt.

Mamy dwie funkcje ciągłe i dwukrotnie różniczkowalne U i G:

$$\begin{aligned} \nabla \cdot (U\nabla G) &= U\nabla \cdot \nabla G + (\nabla U) \cdot (\nabla G) \\ - \nabla \cdot (G\nabla U) &= G\nabla \cdot \nabla U + (\nabla G) \cdot (\nabla U) \\ \hline \nabla \cdot (U\nabla G - G\nabla U) &= U\nabla^2 G - G\nabla^2 U \end{aligned}$$

Twierdzenie Gaussa:

$$\int_V \underbrace{\nabla \cdot \mathbf{U}}_{\substack{\text{net outflow} \\ \text{of flux per} \\ \text{unit volume}}} dV = \int_S \underbrace{\mathbf{U} \cdot d\mathbf{s}}_{\substack{\text{total outflow of flux} \\ \text{from the surface } S}}$$

Liczymy teraz całkę po objętości, w której określone są te funkcje:

„Przepływ” w objętości V $\iiint_V \nabla \cdot (U\nabla G - G\nabla U) dV = \iiint_V (U\nabla^2 G - G\nabla^2 U) dV$

Lewą stronę z teorii Gaussa można zastąpić całką po powierzchni:

$$\oiint_S (U\nabla G - G\nabla U) dS = \iiint_V (U\nabla^2 G - G\nabla^2 U) dV$$

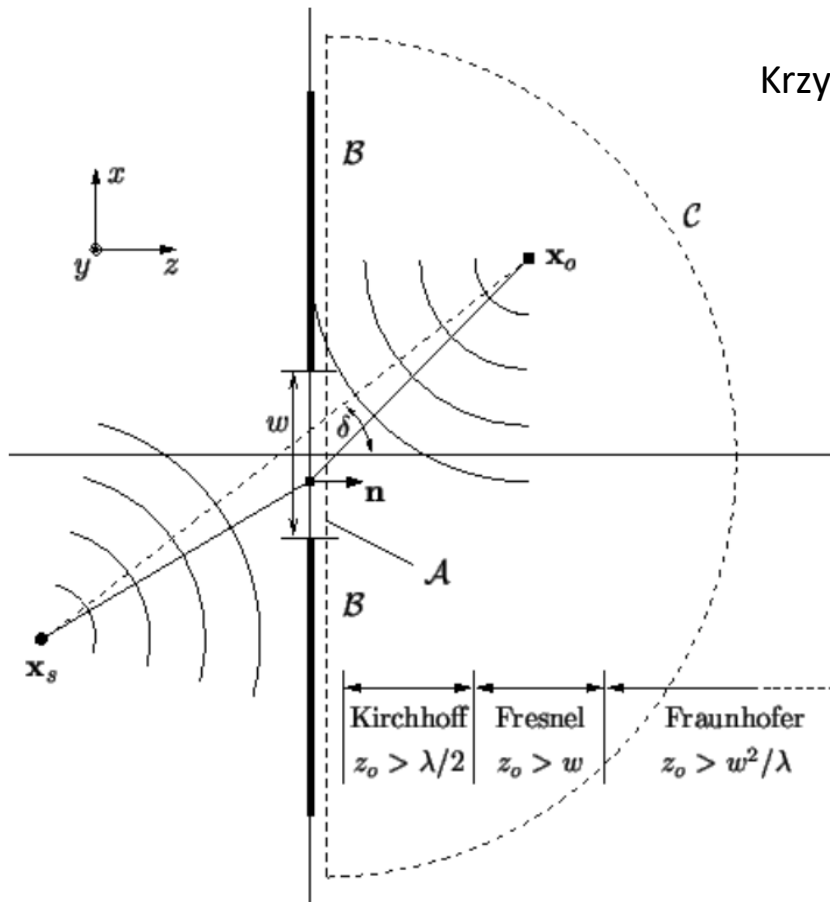
Jeśli gradient policzy się wzdłuż normalnych dostaje się:

Strumień przepływający przez objętość otoczoną powierzchnią S

$$\oiint_S \left(U \frac{\partial G}{\partial n} - G \frac{\partial U}{\partial n} \right) dS = \iiint_V (U\nabla^2 G - G\nabla^2 U) dV$$

Dyfrakcja

Rozważmy dyfrakcję na otworze o wielkości w , fali rozchodzącej się z punktu \mathbf{x}_s .



Krzywą zamkniętą S , po której całkujemy dzielimy na 3 części:

A - Obszar otworu

$$U(x) = U_S(x) \quad \frac{\partial U(x)}{\partial n} = \frac{\partial U_S(x)}{\partial n}$$

B – Powierzchnia ekranu

$$U(x) = 0 \quad \frac{\partial U(x)}{\partial n} = 0$$

C – ograniczenie w wolnej przestrzeni

$$\lim_{\|x\| \rightarrow \infty} \|x\| \left(\frac{\partial U(x)}{\partial n} - ikU(x) \right) = 0$$

Warunek Sommerfelda

Czyli wpływ ekranu i wolnej przestrzeni równy jest 0.

Zostaje tylko **OTWÓR W EKRANIE**.

$$U(x_0) = -\frac{1}{4\pi} \iint_A \left[\frac{\partial U(x)}{\partial n} G(x) - U_S(x) \frac{\partial G(x)}{\partial n} \right] ds$$

Aby rozwiązać to zagadnienie musimy poczynić kilka założeń.

- Fala wejściowa ma postać fali sferycznej:

$$U_S(x_S) = A_S \frac{e^{ik_0 r_S}}{r_S} \quad r_S = \|x_S - x\|$$

- Odległość punktu skąd startuje fala wejściowa x_S i punktu obserwacji x_0 jest dużo większa niż długość fali:

$$\lambda \ll r_0, r_S$$

- Funkcja G również ma postać fali sferycznej:

$$G(x) = \frac{e^{ik_0 r_0}}{r_0} \quad r_0 = \|x_0 - x\|$$

Dostajemy:

$$\frac{\partial U_S(x)}{\partial n} \cong ik_0 A_S \cos(n, x_S - x) \frac{e^{ik_0 r_S}}{r_S}$$

n – normalna do płaszczyzny otworu

$$\frac{\partial G(x)}{\partial n} \cong ik_0 \cos(n, x_0 - x) \frac{e^{ik_0 r_0}}{r_0}$$

i po podstawieniu do równania Helmholtza-Kirchhoffa:

$$U(x_0) = \frac{iA_S}{\lambda} \iint_A \frac{e^{ik_0(r_S+r_0)}}{r_S r_0} \left[\frac{\cos(n, x_0 - x) - \cos(n, x_S - x)}{2} \right] ds$$

Równanie to jest symetryczne, to znaczy, możemy zamienić punkty x_0 i x_S .

Jest to **twierdzenie o wzajemności Helmholtza**.

Dyfrakcja – Kirchhoffa

Wypisując jawnie współrzędne punktów (x,y) otrzymujemy:

$$U(x_0, y_0) = \iint_{x,y} h(x_0, y_0, x, y) U_S(x, y) dx dy = \iint_{x,y} h(x_0, y_0, x, y) \frac{e^{iksrs}}{r_S} dx dy$$

gdzie:

$$h(x_0, y_0, x, y) = \frac{i}{\lambda} \left[\frac{\cos(n, x_0 - x) - \cos(n, x_S - x)}{2} \right] \frac{e^{ik_0 r_0}}{r_0}$$

czyli dyfrakcja zależna jest od funkcji $h(x_0, y_0, x, y)$, w której zawarte są informacje o wzajemnym położeniu punktu obserwacji i punktu skąd pochodzi fala padająca oraz od kształtu otworu, o którym informacja zawarta jest w obszarze całkowania.

Wzór ten jest prawdziwy dla odległości $z > \lambda/2$

Jest trudny do praktycznego stosowania, dlatego wprowadza się kolejne przybliżenia.

Wniosek Huygensa – dyfrakcja to złożenie fal kulistych rozchodzących się z płaszczyzny otworu

Z dokładnością do: czynnika $1/\lambda$, czynnika kierunkowego $[(\cos-\cos)/2]$, fazy $\pi/2$

Dyfrakcja – Hyugensa-Fresnela

Przyjmując:

$$\frac{\cos(n, x_0 - x) - \cos(n, x_S - x)}{2} = 1$$

Prawdziwe jeśli źródło i punkt obserwacji daleko w porównaniu z wielkością otworu

Uzyskujemy:

$$U(x_0, y_0) = \frac{i}{\lambda} \iint_{x,y} U(x, y) \frac{e^{ik_S r_S}}{r_S} dx dy$$

Dyfrakcja Hyugensa-Fresnela

czyli złożenie fal kulistych z obrębu otworu

Dyfrakcja Fresnela

Dla dużej odległości ekranu od otworu:

$$\frac{e^{ik_0 r_0}}{r_0} \approx \frac{e^{ik_0 r_0}}{z_0}$$

Dodatkowo rozwińmy w szereg Taylora wyrażenia $k_0 r_0$ z równania:

$$h(x_0, y_0, x, y) = \frac{i}{\lambda} \frac{e^{ik_0 r_0}}{r_0}$$

$$k_0 r_0 = k_0 \sqrt{z_0^2 + (x - x_0)^2 + (y - y_0)^2} = k_0 z_0 \left(1 + \frac{1}{2} \left(\frac{x - x_0}{z_0} \right)^2 + \frac{1}{2} \left(\frac{y - y_0}{z_0} \right)^2 \mp \dots \right)$$

Biorąc tylko człony kwadratowe otrzymujemy:

$$h(x_0, y_0, x, y) \cong i \frac{e^{ik_0 z_0}}{\lambda z_0} e^{i \frac{k_0}{2z_0} ((x-x_0)^2 + (y-y_0)^2)}$$

Przybliżenie prawdziwe dla: $(2z_0)^3 \gg k_0 [(x - x_0)^2 + (y - y_0)^2]_{max}^2$

Lub równoważnie: $z_0 \gg w$ gdzie w jest wielkością otworu.

Dyfrakcja Fraunhofera

Pomijając dalej kolejne wyrażenia:

$$\begin{aligned}k_0 r_0 &= k_0 \sqrt{z_0^2 + (x - x_0)^2 + (y - y_0)^2} = \\&= k_0 z_0 \left(1 + \frac{1}{2} \left(\frac{x - x_0}{z_0} \right)^2 + \frac{1}{2} \left(\frac{y - y_0}{z_0} \right)^2 \mp \dots \right) = \\&= k_0 z_0 \left(1 + \frac{x_0^2 + y_0^2}{2z_0^2} - \frac{xx_0 + yy_0}{z_0^2} + \frac{x^2 + y^2}{2z_0^2} \mp \dots \right)\end{aligned}$$

uzyskujemy:

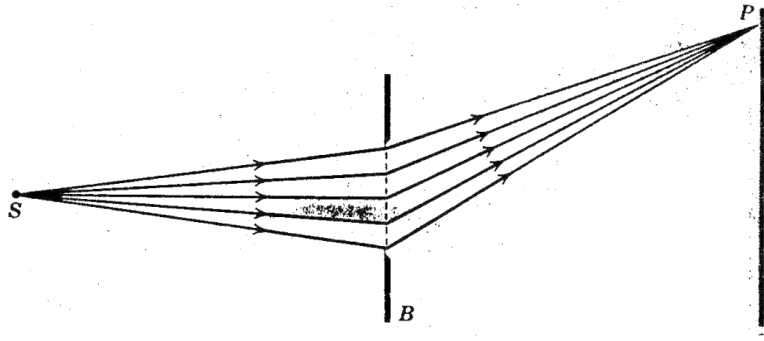
$$h(x_0, y_0, x, y) \cong i \frac{e^{ik_0 z_0}}{\lambda z_0} e^{i \frac{k_0}{2z_0} (x_0^2 + y_0^2)} e^{i \frac{k_0}{z_0} (xx_0 + yy_0)}$$

Przybliżenie prawdziwe dla: $2z_0 \gg k(x^2 + y^2)_{max}$

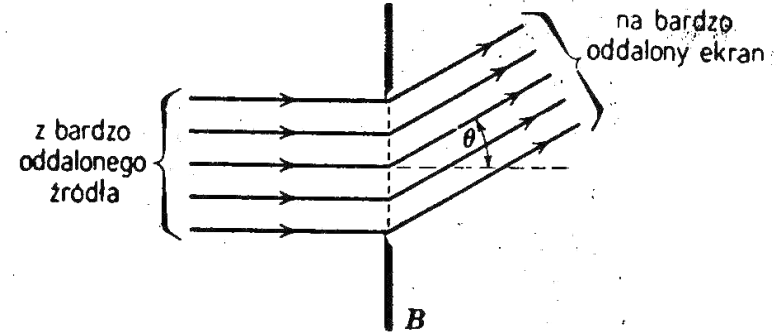
Lub równoważnie: $z_0 \gg \frac{w^2}{\lambda}$ gdzie w jest wielkością otworu.

Dyfrakcja

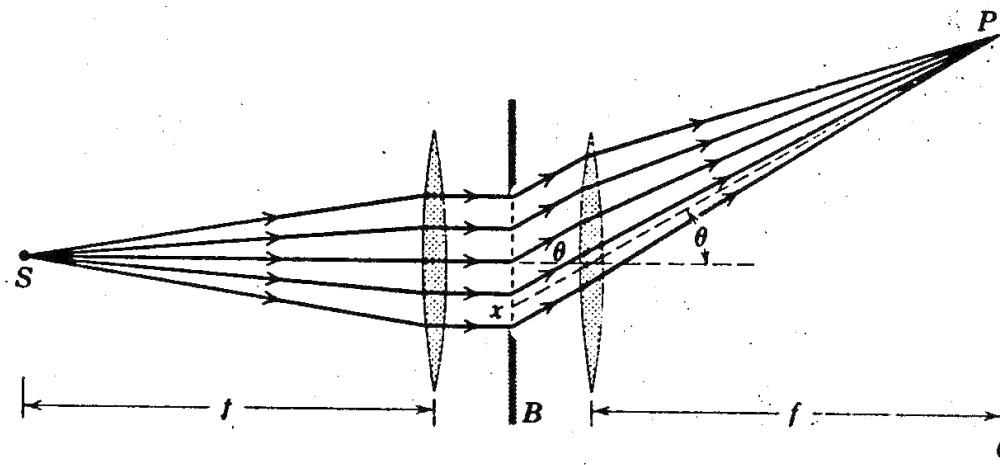
Fresnel:



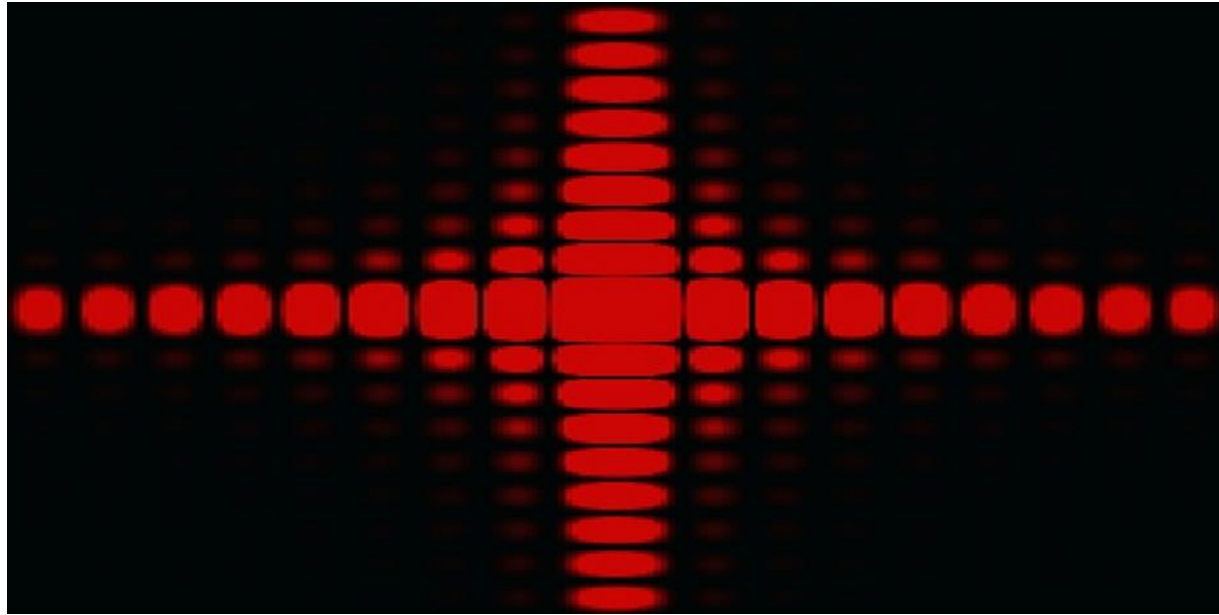
Fraunhofer:



Sprowadzenie dyfrakcji Fresnela do dyfrakcji Fraunchofera:



Dyfrakcja - przykłady

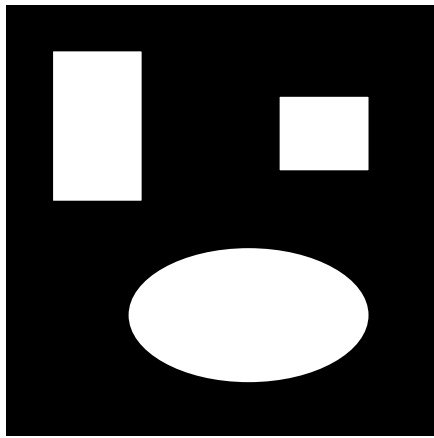


en.wikipedia.org

es.123rf.com

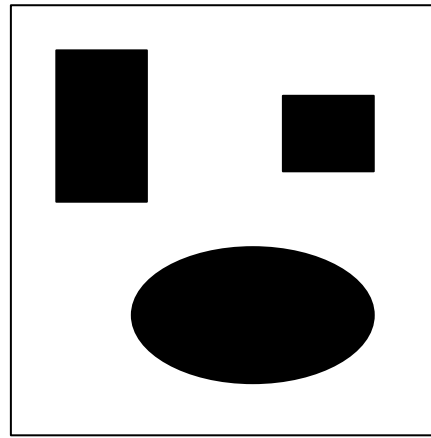


Dyfrakcja – zasada Babineteta



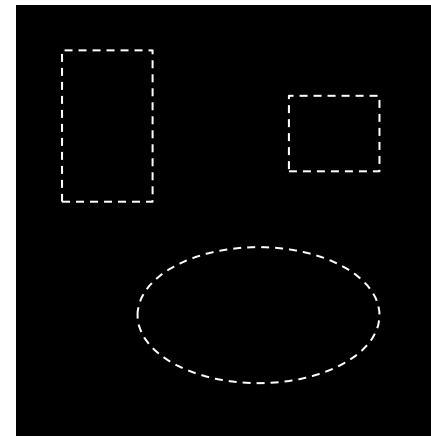
E_1

+



E_2

=



O

Ekrany

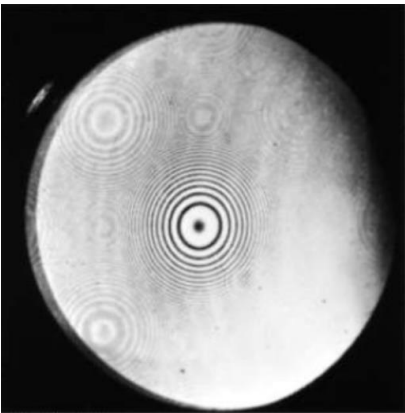
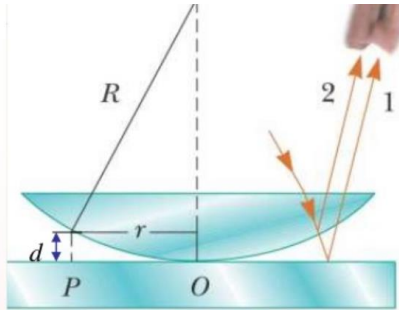
Pole na ekranie

$$E_1 + E_2 = 0 \quad \Rightarrow \quad E_1 = -E_2 \quad \text{To samo tylko w przeciw fazie}$$

Obraz dyfrakcyjny od dwóch nawzajem uzupełniających się ekranów jest taki sam

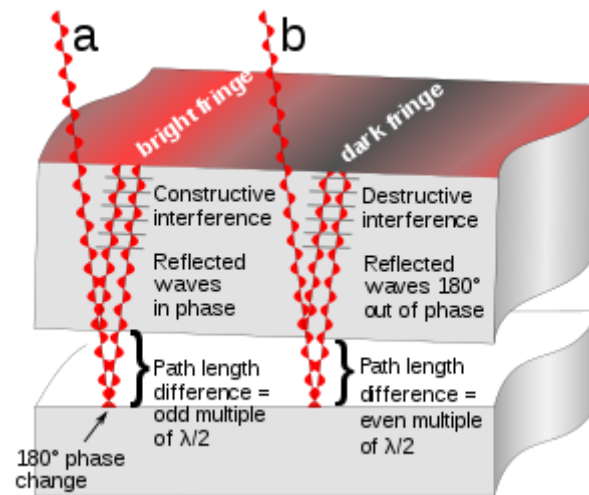
Elementy dyfrakcyjne – soczewka Fresnela

pierścienie Newtona



Czarny krążek w środku !

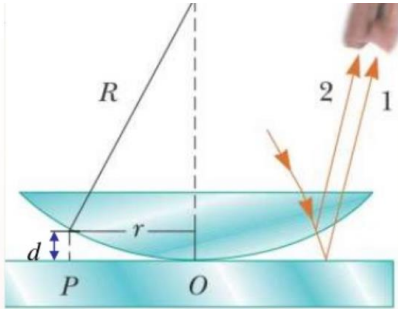
- Światło przy odbiciu zmienia swoją fazę o $\pi/2$ gdy odbija się od ośrodka o wyższym współczynniku załamania
- Przy odbiciu od ośrodka o niższym współczynniku załamania faza się nie zmienia
- Przy przejściu przez granicę między ośrodkami faza się nie zmienia



en.wikipedia.org/wiki/Newton%27s_rings

Elementy dyfrakcyjne – soczewka Fresnela

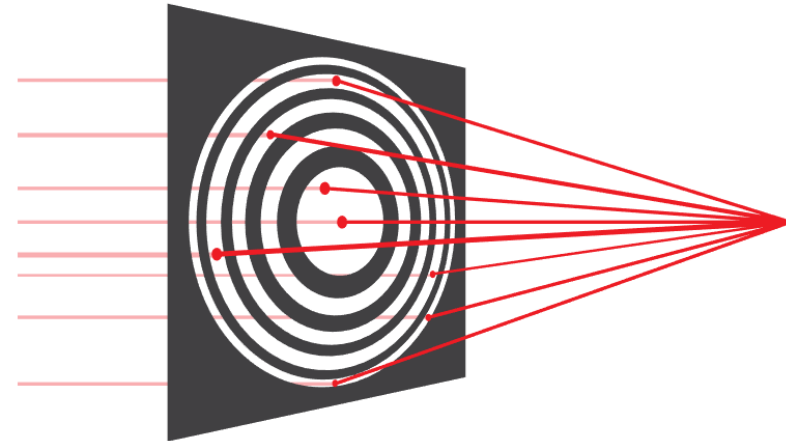
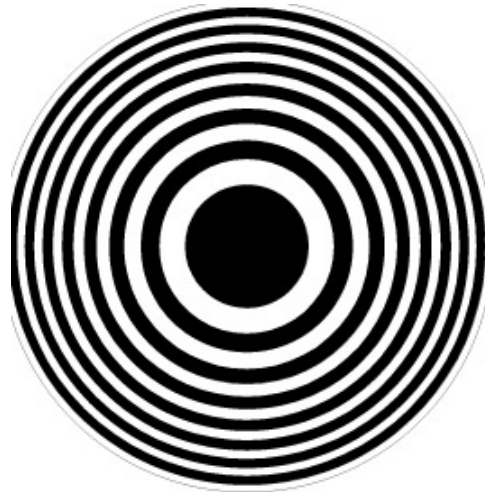
pierścienie Newtona



Soczewka Newtona

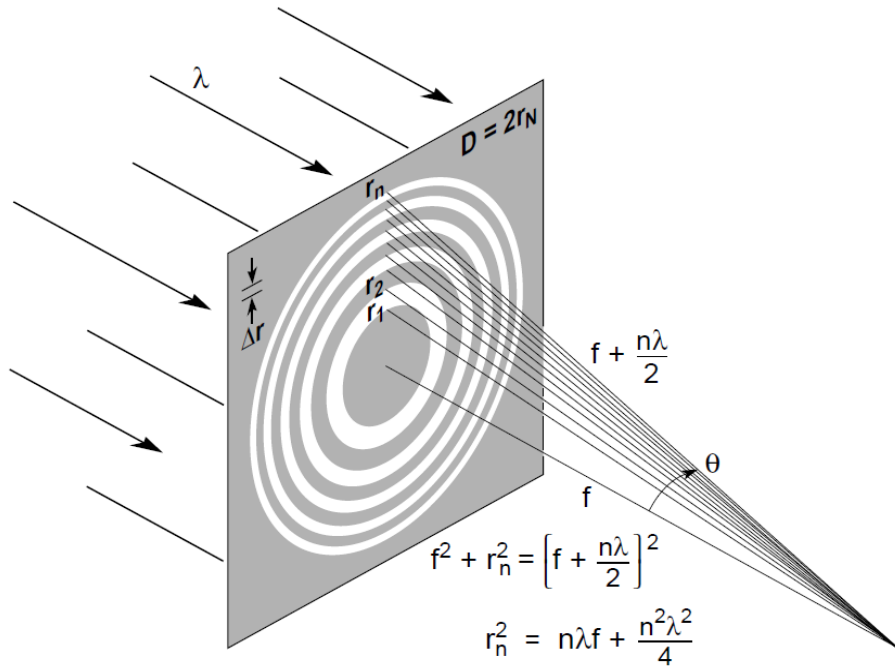
Obszar wewnątrz otworu (kołowy) mogą podzielić na strefy, z których droga optyczna do danego punktu ekranu różni się o wielokrotność połowy długości fali.

Płytkę strefową

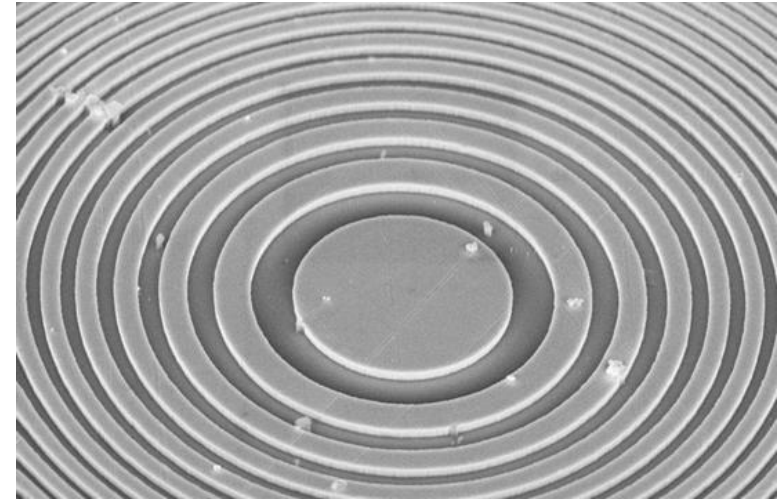


Możemy taki element traktować jak siatkę dyfrakcyjną o tak lokalnie dobranym okresie aby ugięte promienie (1 rząd ugięcia) trafiały w ognisko.

Elementy dyfrakcyjne – soczewka Fresnela



$$r_n = \sqrt{n\lambda f + \frac{n^2\lambda^2}{4}} \approx \sqrt{n\lambda f}$$

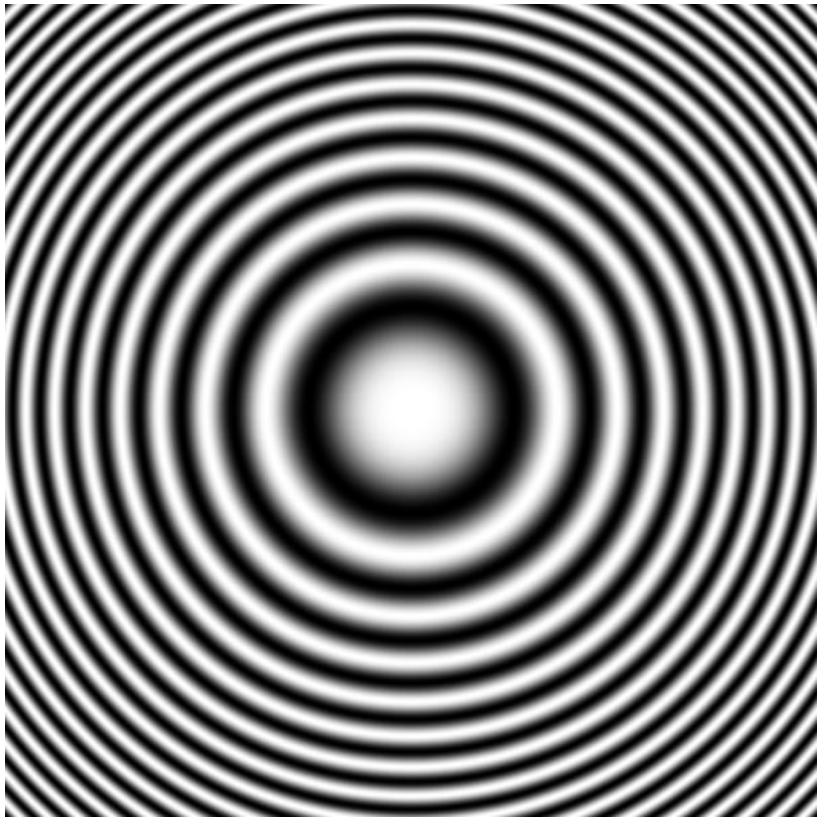


Inne warianty

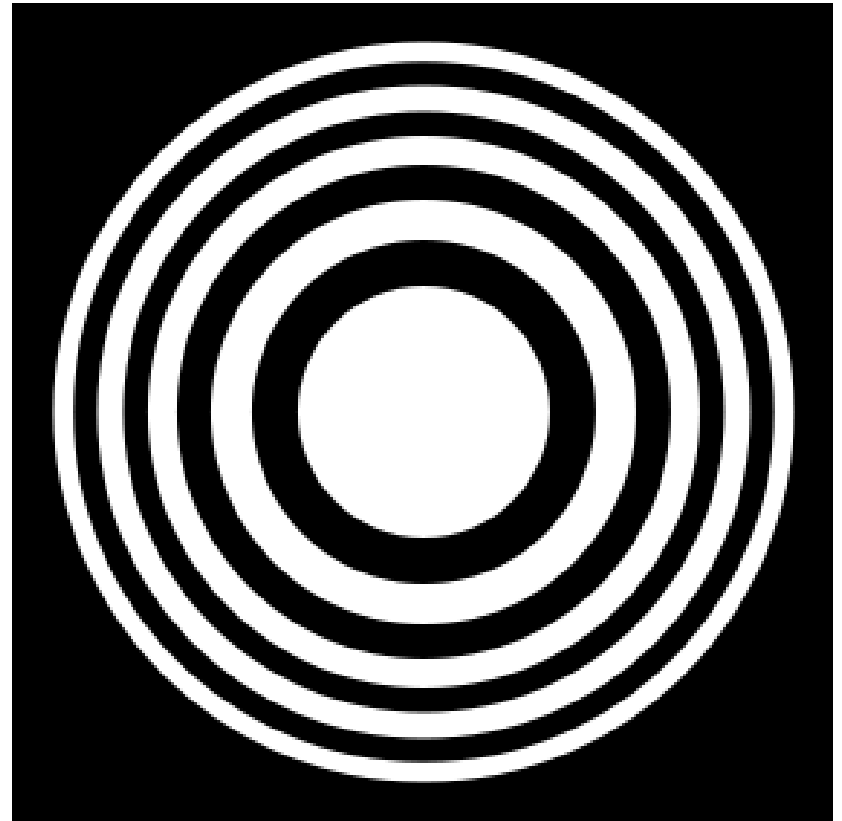


Soczewka Fresnela a płytka strefowa

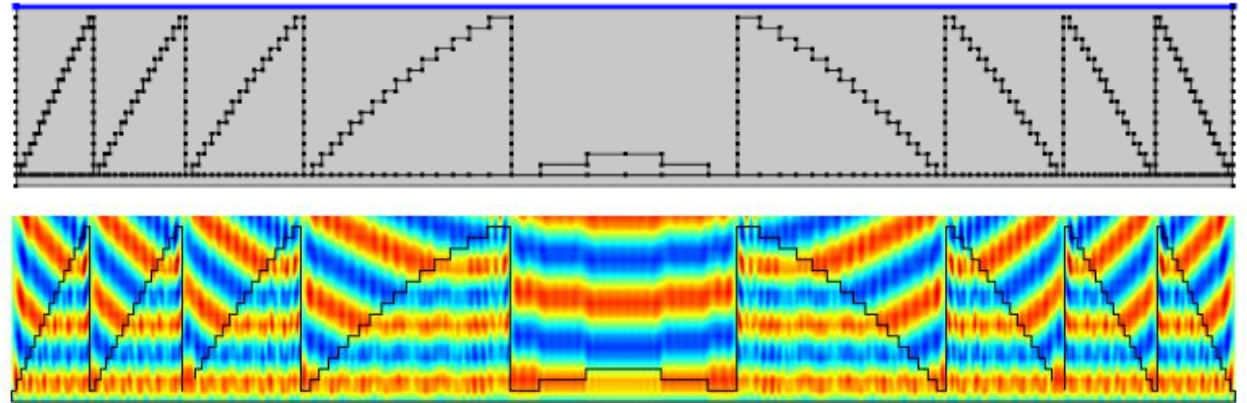
$$\frac{1 \pm \cos(kr^2)}{2}$$



$$\frac{1 \pm \operatorname{sgn}(\cos(kr^2))}{2}$$



Elementy dyfrakcyjne – soczewka Fresnela

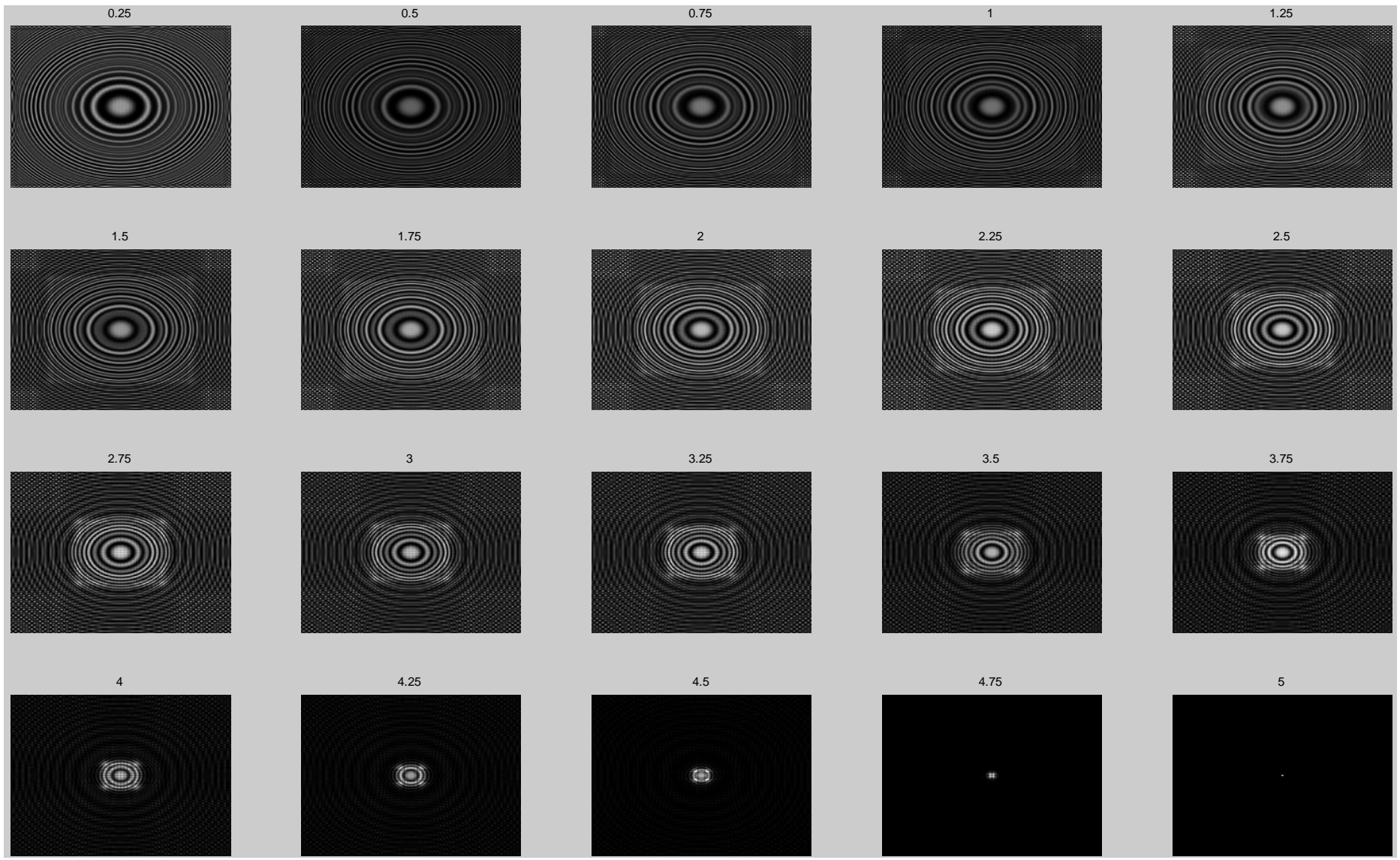


www.comsol.com/blogs/how-to-implement-the-fourier-transformation-from-computed-solutions/

Propagacja za soczewką Fouriera

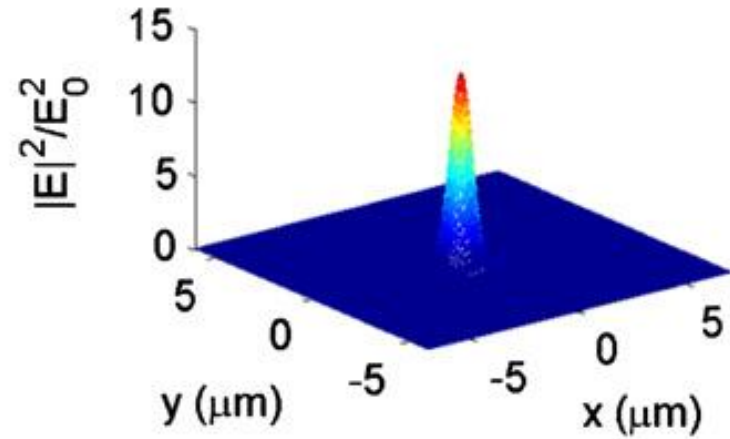
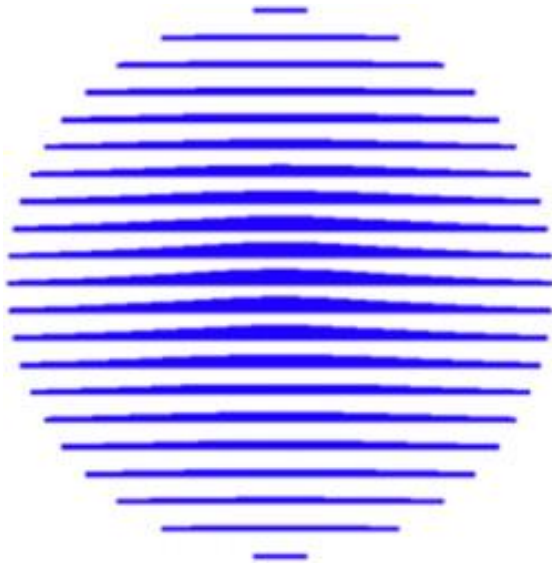


Elementy dyfrakcyjne – soczewka Fresnela

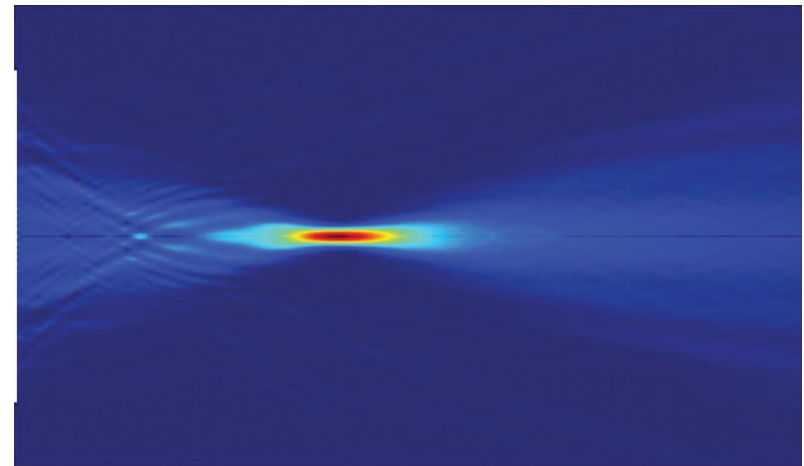
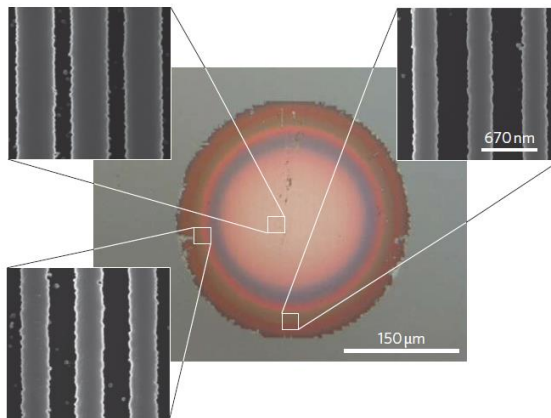


Elementy dyfrakcyjne

Soczewka dyfrakcyjna - zmiana okresu siatki (soczewka skupiająca)

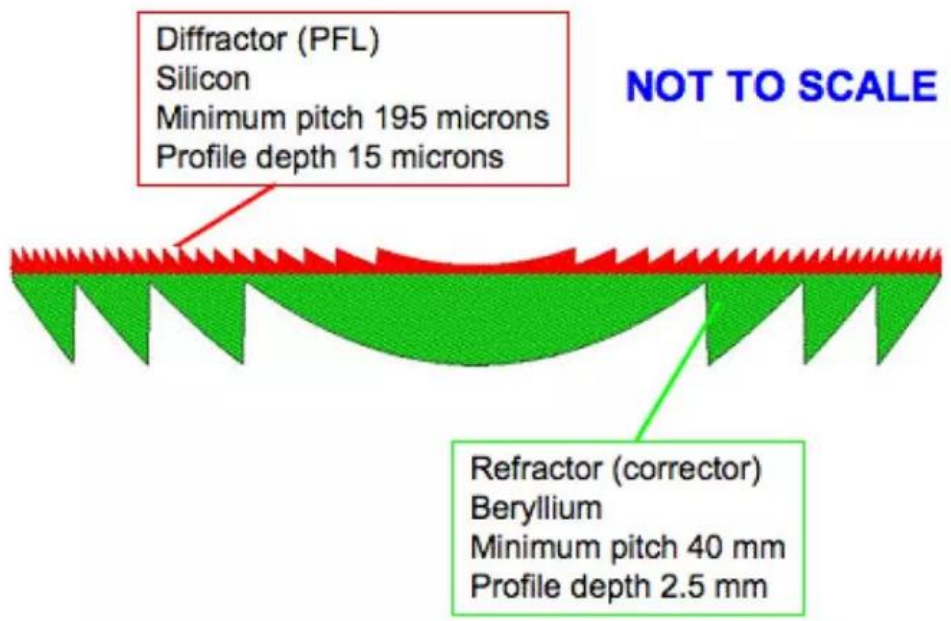


Zmieniająca się długość i szerokość linii siatki

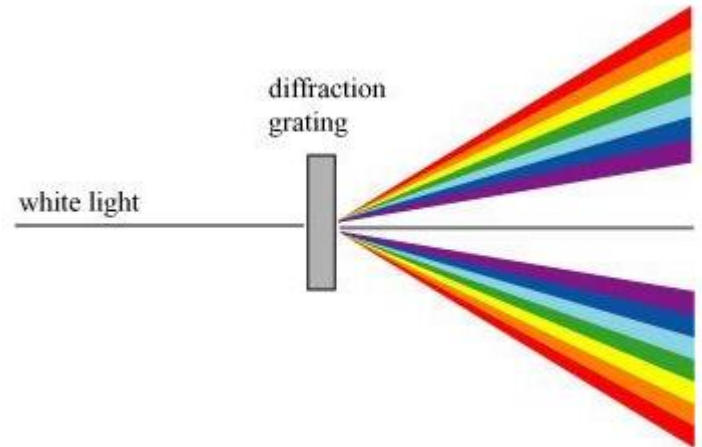
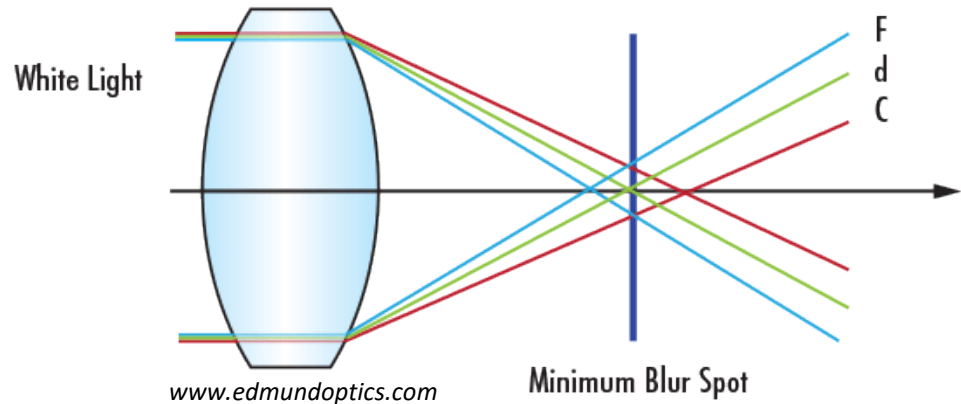
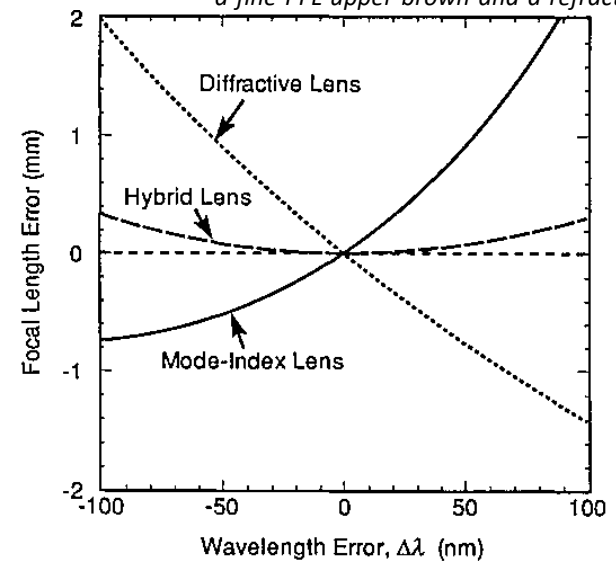


Elementy dyfrakcyjne – soczewka refrakcyjno-dyfrakcyjna

Korekcja aberracji chromatycznej



G, Skinner, at all, „A-diffractive-refractive-achromat-consists-of-a-fine-PFL-upper-brown-and-a-refractive,”

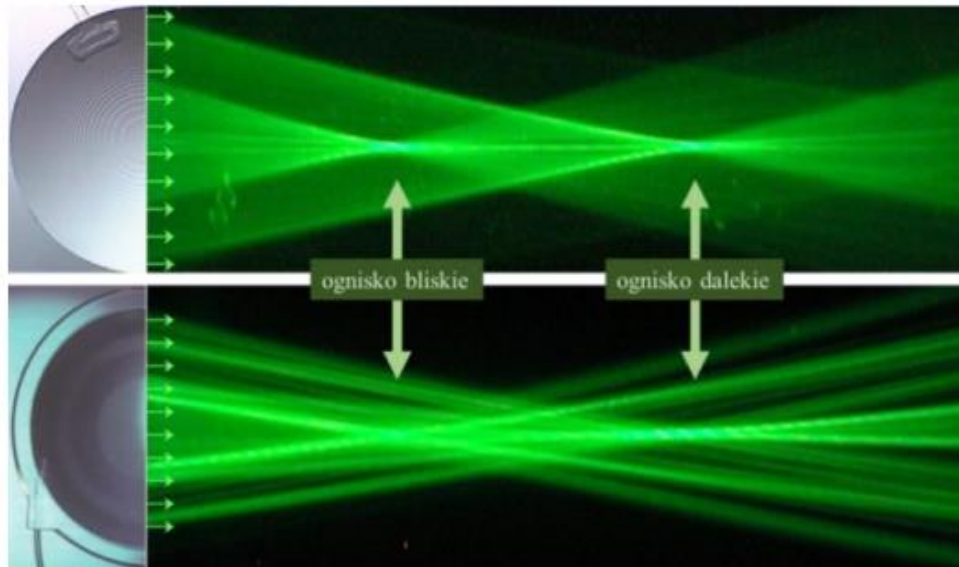


Elementy dyfrakcyjne – soczewka refrakcyjno-dyfrakcyjna

Soczewki wewnątrz gałkowe:

- sferyczne soczewki refrakcyjne jednoogniskowymi,
- strefowe dwuogniskowe i trójogniskowe soczewki refrakcyjne,
- dwuogniskowe soczewki hybrydowe refrakcyjno-dyfrakcyjne,
- apodyzowane hybrydowe soczewki refrakcyjne z asferycznym komponentem refrakcyjnym.

W hybrydowych soczewkach dwuogniskowych komponent refrakcyjny zapewnia ostre odwzorowanie przestrzeni przedmiotowej dalekiej, struktura dyfrakcyjna zapewnia ostre widzenie przedmiotów bliskich

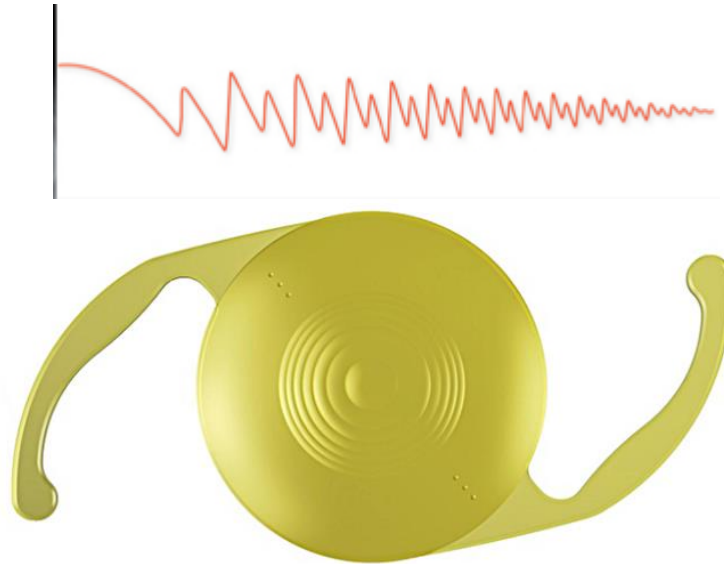


Rozprawa doktorska Macieja Sokołowskiego

Elementy dyfrakcyjne – soczewka refrakcyjno-dyfrakcyjna

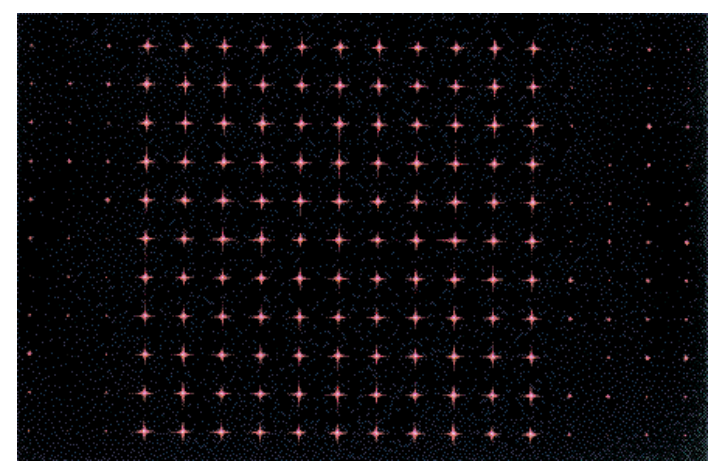
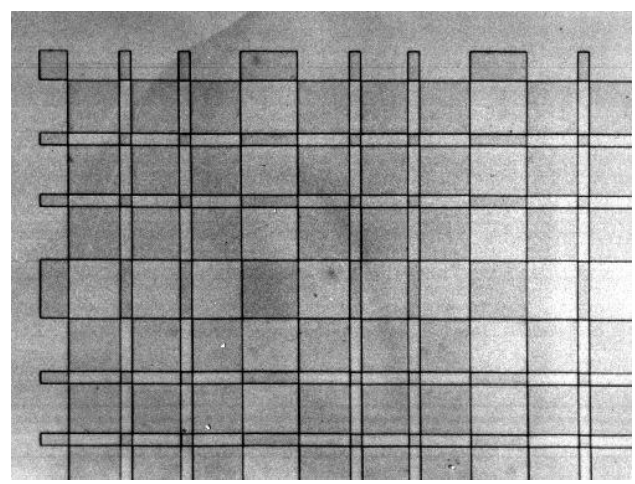
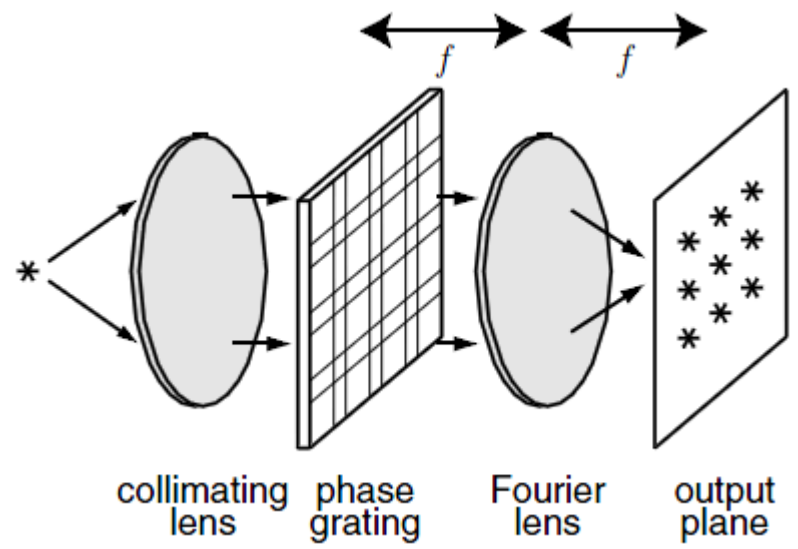
Apodyzacja - zmniejszającą się od centrum do peryferii soczewki wysokość pierścieni dyfrakcyjnych

Dystrybucja światła do blizy, odległości pośrednich i dali, jest uzależniona od rozmiaru źrenicy. Podczas dobrych warunków oświetleniowych wzmacniane jest widzenie bliskie i pośrednie podczas gdy w warunkach słabego oświetlenia, kiedy źrenica jest rozszerzona, więcej energii lokowane jest do widzenia dalekiego.



Elementy dyfrakcyjne – siatki Dammana

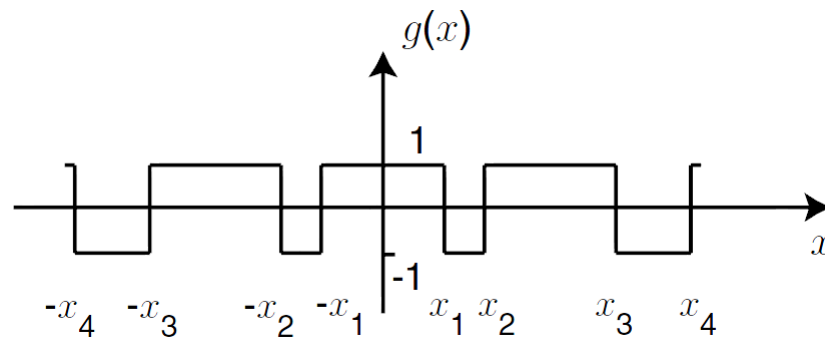
Podział wiązki (beam shaping)



Elementy dyfrakcyjne – siatki Dammana

Założenia:

- struktura siatki fazowej: symetryczna i powielana
- macierz punktów symetryczna
- macierz punktów periodyczna
- separacja wzdłuż osi X i Y



$$g(x) = \sum_{n=0}^N (-1)^n \operatorname{rect} \left(\frac{x - \frac{x_{n+1} + x_n}{2}}{x_{n+1} + x_n} \right) \quad 0 \leq x \leq 0.5$$

gdzie: x_n ($n = 1, \dots, N$) oznaczają punkty zmiany transmitancji siatki

Jak znaleźć x_m ? NIE ISTNIEJE ANALITYCZNE ROZWIĄZANIE !

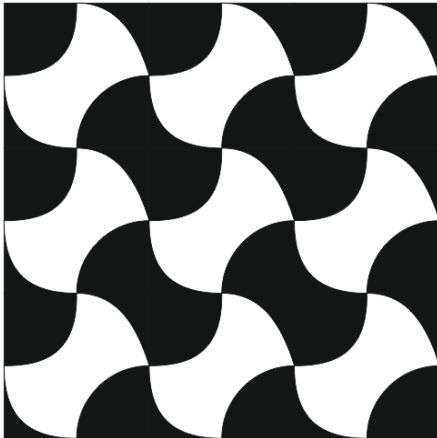
Elementy dyfrakcyjne – siatki Dammana

Znajdowanie x_m - metody iteracyjne:

- Gradientowe,
- Symulowane wyżarzanie,
- Algorytmy genetyczne,
- IFTA.

Uogólnienia siatek Dammana (pozwalają na dowolne rozmieszczenie punktów):

Periodyczność zadanego kształtu



siatki szaroodcieniowe

